

К РАСЧЕТУ РАМ С УЧЕТОМ ПОЛЗУЧЕСТИ

М.М.Бекирова, А.Н.Орлов, С.В.Павелко /Одесса, ОГАСА,

При расчетах рам методом перемещений используется основная система, полученная из заданной путем наложения связей препятствующих угловым перемещениям жестких узлов /жесткое защемление/ и линейным перемещениям как жестких, так и шарнирных узлов /шарнирноподвижная опора/. Фактически основная система является совокупностью жестко защемленных по концам стержней и стержней жестко защемленных на одном конце и шарнироопертых на другом.

Для расчета необходимо знать реактивные усилия и энтурии изгибающих моментов в таких стержнях от деформативных воздействий /поворот жесткой заделки на единичный угол, линейное единичное смещение одной опоры относительно другой в направлении перпендикулярном оси стержня/ и основных видов поперечных нагрузок /равномерно распределенная нагрузка вдоль всего пролета, сосредоточенная сила в середине пролета и т.д./. Все это хорошо известно для расчетов рамных конструкций, выполненных из упругих материалов.

В настоящей статье решены задачи по определению реактивных усилий и напряженных состояний для вышеуказанных стержней в случае, когда материал, из которого изготовлена рама, обладает свойствами ползучести.

Предполагается, что материал стержней подчиняется законам нелинейной теории упругой наследственности /I/

$$\epsilon(t) = \delta(t) \delta(t, t) - \int_{t_0}^t F[\delta(\tau)] \frac{d\delta(t, \tau)}{dt} d\tau, \quad /I/$$

$$\delta(t, \tau) = 1 + C(t, \tau), \quad C(t, \tau) = C_0 [1 - e^{-\beta(t-\tau)}],$$

$$F[\delta(t)] = \delta(t) + \beta \delta^2(t), \quad \varphi = E C_0,$$

где $C(t, \tau)$ - мера ползучести, φ - характеристика ползучести, $F[\delta(t)]$ - функция напряжений, представленная в виде квадратного двучлена.

Стержень, защемленный двумя концами /рис.I/. Левый конец стержня повернут на единичный угол по часовой стрелке, правый - неподвижен. Если начало координат в точке A , то уравнение оси изогнутого стержня имеет вид

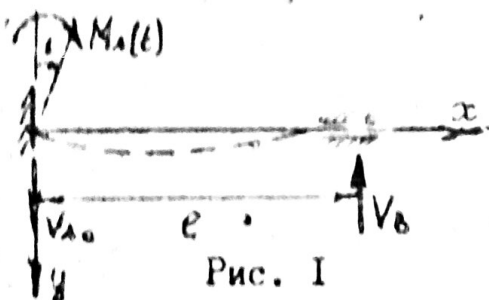


Рис. I

$$y(x,t) = x - \frac{M_A(t)}{EI} \cdot \frac{x^2}{2} + \frac{V_A(t)}{EI} \cdot \frac{x^3}{6} - \delta \int_{t_0}^t \left\{ M_A(\tau) \frac{x^2}{2} - V_A(\tau) \frac{x^3}{6} + \frac{\beta h}{2J} \left[M_A^2(\tau) \frac{x^2}{2} - M_A(\tau) V_A(\tau) \frac{x^3}{3} + V_A^2(\tau) \frac{x^4}{12} \right] \right\} e^{-\delta(t-\tau)} d\tau. \quad 12/$$

Его производная – уравнение углов поворота поперечных сечений оси изогнутого стержня

$$y'(x,t) = -\frac{M_A(t)}{EI} + \frac{V_A(t)}{EI} \cdot \frac{x^2}{2} - \delta \int_{t_0}^t \left\{ M_A(\tau) x + V_A(\tau) \frac{x^2}{2} + \frac{\beta h}{2J} \cdot \left[M_A^2(\tau) x - M_A(\tau) V_A(\tau) x^2 - V_A^2(\tau) \frac{x^3}{3} \right] \right\} e^{-\delta(t-\tau)} d\tau. \quad 13/$$

Используя условия на правом конце стержня при $x = l$, $y(l,t) = 0$ и $y'(l,t) = 0$, с помощью уравнений 11/ и 12/ можно получить систему интегральных уравнений относительно искомых реактивных усилий $M_A(t)$ и $V_A(t)$.

$$\begin{cases} M_A(t) - \frac{\delta}{3} V_A(t) + \delta \varphi \int_{t_0}^t M_A(\tau) - \frac{\delta}{3} V_A(\tau) + \frac{\beta h}{2J} \left[M_A^2(\tau) - \frac{2\delta}{3} M_A(\tau) V_A(\tau) + \frac{\delta^2}{6} V_A^2(\tau) \right] \int_{t_0}^t e^{-\delta(t-\tau)} d\tau = \frac{2EI}{e}, \\ M_A(t) - \frac{\delta}{2} V_A(t) + \delta \varphi \int_{t_0}^t M_A(\tau) - \frac{\delta}{2} V_A(\tau) + \frac{\beta h}{2J} \left[M_A^2(\tau) - \delta M_A(\tau) V_A(\tau) + \frac{\delta^2}{6} V_A^2(\tau) \right] \int_{t_0}^t e^{-\delta(t-\tau)} d\tau = \frac{EI}{e}. \end{cases} \quad 14/$$

В уравнениях 12/, 13/ и 14/ h и J – высота и момент инерции поперечного сечения стержня.

Систему интегральных уравнений 14/ можно заменить эквивалентной ей системой дифференциальных

$$\begin{cases} \dot{V}_A(t) + \gamma_1 V_A(t) + \alpha_1 M_A(t) V_A(t) + \alpha_2 V_A^2(t) = \gamma V_A(t_0), \\ \dot{M}_A(t) + \gamma_1 M_A(t) + \beta_1 M_A^2(t) + \beta_2 V_A^2(t) = \delta M_A(t_0). \end{cases} \quad 15/$$

Здесь точками обозначены производные по времени

$$\begin{aligned} \alpha_1 &= 2\delta \varphi \frac{\beta h}{2J}, \quad \alpha_2 = -\delta \varphi \frac{\beta h l}{2J}, \quad \beta_1 = \gamma \varphi \frac{\beta h}{2J}, \quad \beta_2 = -\frac{1}{6} \delta \varphi \frac{\beta h l^2}{2J}, \\ \gamma_1 &= \gamma(\delta + \varphi), \quad M_A(t_0) = -\frac{4EI}{e}, \quad V_A(t_0) = \frac{6EI}{e}. \end{aligned} \quad 16/$$

$M_A(t)$ и $V_A(t)$ – реактивные усилия в рассматриваемом стержне упругой задачи.

Реактивные усилия $M_A(t)$ и $V_A(t)$ с учетом нелинейной ползучести являются решениями системы /5/

$$M_A(t) = \frac{M_A(t_0)}{2,5\omega(1+\varphi)} \cdot \frac{(\sqrt{1+5\omega}+1)Ke^{-\gamma_1\sqrt{1+5\omega}(t-t_0)}}{1-Ke^{-\gamma_1\sqrt{1+5\omega}(t-t_0)}} + (\sqrt{1+5\omega}-1), \quad /7/$$

$$V_A(t) = \frac{V_A(t_0)}{2,5\omega(1+\varphi)} \cdot \frac{(\sqrt{1+5\omega}+1)Ke^{-\gamma_1\sqrt{1+5\omega}(t-t_0)}}{1-Ke^{-\gamma_1\sqrt{1+5\omega}(t-t_0)}} + (\sqrt{1+5\omega}-1), \quad /7/$$

где

$$K = \frac{2,5\omega(1+\varphi)+(1-\sqrt{1+5\omega})}{2,5\omega(1+\varphi)+(1+\sqrt{1+5\omega})}, \quad \omega = \frac{\delta}{(1+\varphi)^2} \cdot \frac{\beta E}{\lambda}, \quad \lambda = \frac{E}{h}. \quad /8/$$

С практической точки зрения наибольший интерес представляет случай при $t \rightarrow \infty$, т.е. когда процессы ползучести уже закончились. Из формул /7/ следует

$$M_A(\infty) = M_A(t_0) \frac{\sqrt{1+5\omega}-1}{2,5\omega(1+\varphi)}, \quad V_A(\infty) = V_A(t_0) \frac{\sqrt{1+5\omega}-1}{2,5\omega(1+\varphi)}. \quad /9/$$

Для частного случая, когда материал стержня подчиняется закону линейной теории упругой наследственности, реактивные усилия $M_A(t)$, $V_A(t)$, $M_A(\infty)$ и $V_A(\infty)$ можно получить из зависимостей /7/ и /9/. Для этого в /7/ и /9/ следует принять $\omega = 0$, т.к. $\beta = 0$. Непосредственная подстановка $\omega = 0$ в формулы /7/ и /9/ приводит к неопределенностям вида $\frac{0}{0}$, раскрыв которые, получим окончательные результаты

$$M_A(t) = \frac{M_A(t_0)}{1+\varphi} [1+\varphi e^{-\gamma_1(t-t_0)}], \quad V_A(t) = \frac{V_A(t_0)}{1+\varphi} [1+\varphi e^{-\gamma_1(t-t_0)}], \quad /10/$$

$$M_A(\infty) = \frac{M_A(t_0)}{1+\varphi}, \quad V_A(\infty) = \frac{V_A(t_0)}{1+\varphi}$$

Выполненные расчеты для двух видов стержней при деформативных воздействиях и действии внешних поперечных нагрузок позволили получить все необходимые реактивные усилия и эпюры изгибающих моментов, которые приведены в таблице для случая $t \rightarrow \infty$ как при нелинейной, так и линейной ползучести.

В формулах пунктов 5, 6, 7, 8 таблицы под α следует понимать

/III/

Коэффициент ω , фигурирующий в формулах пунктов I и 3 таблицы, а так же в формуле /II/, вычисляется по второй формуле из /8/ а фигурирующий в пунктах 2 и 4 - по формуле

$$\omega = \frac{f}{(1+f)^2} \cdot \frac{\rho E}{\lambda e}$$

/12/

Таблица

| № № пп | Схема стержня и воздействия на него | Эпюры изгибаю- щих моментов /ординаты отло- жены со стороны растянутого вот- локна/ и реакции | Формулы | |
|-----------|---|---|--|-------------------------|
| | | | Нелинейная поплзучесть | Линейная поплзучесть |
| 1 | 2 | 3 | 4 | 5 |
| | | $M_A(\infty) = \frac{4EJ}{e} \cdot \frac{\sqrt{1+5w}}{2.5w(1+f)} - 1$ $M_B(\infty) = \frac{2EJ}{e} \cdot \frac{\sqrt{1+5w}}{2.5w(1+f)} - 1$ $V_A(\infty) = V_B(\infty) = \frac{6EJ}{e} \cdot \frac{\sqrt{1+5w}}{2.5w(1+f)} - 1$ | $M_A(\infty) = \frac{4EJ}{e(1+f)}$ $M_B(\infty) = \frac{2EJ}{e(1+f)}$ $V_A(\infty) = V_B(\infty) = \frac{6EJ}{e^2(1+f)}$ | |
| | | $M_A(\infty) = M_B(\infty) = \frac{6EJ}{e^2}$ $V_A(\infty) = V_B(\infty) = \frac{12EJ}{e^3(1+f)}$ | $M_A(\infty) = M_B(\infty)$ $= \frac{6EJ}{e^2(1+f)}$ $V_A(\infty) = V_B(\infty)$ $= \frac{12EJ}{e^3(1+f)}$ | |
| | | $M_A(\infty) = \frac{3EJ}{e} \cdot \frac{\sqrt{1+4.5w}}{2.25w(1+f)} - 1$ $V_A(\infty) = V_B(\infty) = \frac{3EJ}{e^2} \cdot \frac{\sqrt{1+4.5w}}{2.25w(1+f)} - 1$ | $M_A(\infty) = \frac{3EJ}{e(1+f)}$ $V_A(\infty) = V_B(\infty)$ $= \frac{3EJ}{e^2(1+f)}$ | |

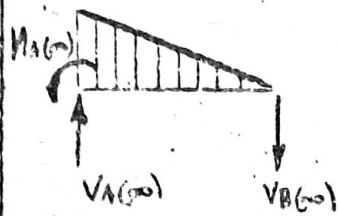
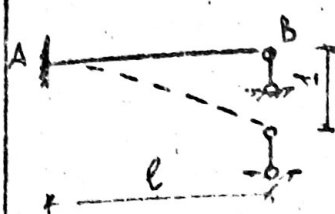
продолжение табл.

2

3

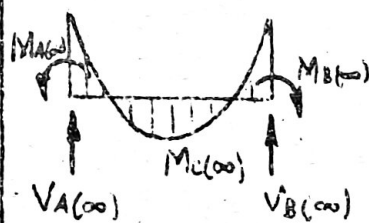
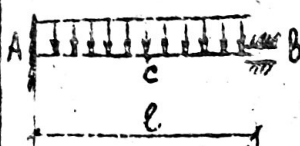
4

5



$$M_A(\infty) = \frac{3EJ}{l^2} \cdot \frac{1 - \sqrt{1 - 4,5w}}{2,25w(1+w)}$$

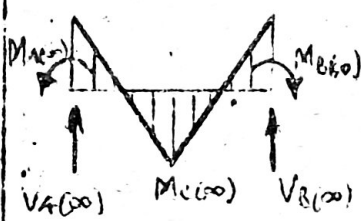
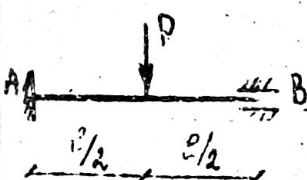
$$V_A(\infty) = V_B(\infty) = \frac{3EJ}{l^3} \cdot \frac{1 - \sqrt{1 - 4,5w}}{2,25w(1+w)}$$



$$M_A(\infty) = M_B(\infty) = \frac{ql^2}{12} + \frac{1}{2d} \left[1 - \sqrt{1 - 0,8d^2 \left(\frac{q^2 l^2}{12} \right)^2} \right]$$

$$M_C(\infty) = \frac{q^2 l^2}{24} - \frac{1}{2d} \left[1 - \sqrt{1 - 0,8d^2 \left(\frac{q^2 l^2}{12} \right)^2} \right]$$

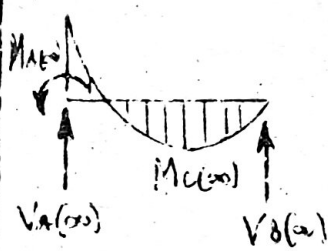
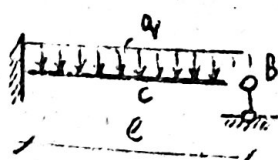
$$V_A(\infty) = V_B(\infty) = \frac{ql}{2}$$



$$M_A(\infty) = M_B(\infty) = \frac{ql}{8} + \frac{1}{2d} \left[1 - \sqrt{1 - \frac{4}{3} d^2 \left(\frac{ql}{8} \right)^2} \right]$$

$$M_C(\infty) = \frac{ql}{8} - \frac{1}{2d} \left[1 - \sqrt{1 - \frac{4}{3} d^2 \left(\frac{ql}{8} \right)^2} \right]$$

$$V_A(\infty) = V_B(\infty) = \frac{ql}{2}$$



$$M_A(\infty) = \frac{9l^2}{10} + \frac{2}{3d} \left[1 - \sqrt{1 - \frac{1}{5} d \left(\frac{3ql^2}{8} \right) - \frac{8}{75} d^2 \left(\frac{3ql^2}{8} \right)^2} \right]$$

$$M_C(\infty) = \frac{q^2 l^2}{2} V_B(\infty) - \frac{9l^2}{8};$$

$$V_A(\infty) = \frac{3 \cdot 3l}{5} + \frac{2}{3d} \left[1 - \sqrt{1 - \frac{1}{5} d \left(\frac{3ql^2}{8} \right) - \frac{8}{75} d^2 \left(\frac{3ql^2}{8} \right)^2} \right]$$

$$V_B(\infty) = ql - V_A(\infty)$$

$$M_A(\infty) = \frac{3EJ}{l^2(1+w)}$$

$$V_A(\infty) = V_B(\infty) = \frac{3EJ}{l^2(1+w)}$$

$$M_A(\infty) = M_B(\infty) = \frac{ql^2}{12};$$

$$M_C(\infty) = \frac{q^2 l^2}{24};$$

$$V_A(\infty) = V_B(\infty) = \frac{ql}{2}.$$

$$M_A(\infty) = M_B(\infty) = \frac{ql}{8};$$

$$M_C(\infty) = \frac{ql}{8};$$

$$V_A(\infty) = V_B(\infty) = \frac{ql}{2}$$

$$M_A(\infty) = \frac{ql^2}{8};$$

$$M_C(\infty) = \frac{ql^2}{16};$$

$$M_B(\infty) = \frac{5}{8} ql;$$

$$V_B(\infty) = \frac{3}{8} ql$$

| 1 | 2 | 3 | 4 | 5 |
|---|---|--|--|---|
| | | $M_A(\infty) = \frac{8P}{48} + \frac{2}{3\alpha} \left[1 - \sqrt{1 - 0,4\alpha \left(\frac{5P}{16} \right)} - 0,49\alpha^2 \left(\frac{5P}{16} \right)^2 \right]$ $M_C(\infty) = \frac{1}{2} \alpha V_B(\infty);$ $V_A(\infty) = \frac{31}{48} P + \frac{2}{3\alpha} \left[1 - \sqrt{1 - 0,4\alpha \left(\frac{5P}{16} \right)} - 0,49\alpha^2 \left(\frac{5P}{16} \right)^2 \right];$ $V_B(\infty) = P - V_A(\infty)$ | $M_A(\infty) = \frac{3}{16} P;$ $M_C(\infty) = \frac{5}{32} P;$ $V_A(\infty) = \frac{11}{16} P;$ $V_B(\infty) = \frac{5}{16} P.$ | |

В таблице указаны абсолютные значения и действительные направления реактивных усилий. В случае линейной ползучести реактивные усилия, вызванные внешними нагрузками совпадают с соответствующими значениями упругой задачи.

литература

I. Ржаницын А.Р. Теория ползучести. М., Стройиздат, 1968, с. 303.